

山口大学工学部 正員 羽田野袈裟義
建設技術研究所 正員○狩野 晋一

1. 緒言

堰の水理はこれまで数多くの研究がなされており、流量計測の手段としての完全越流の堰水理はほぼ解決された状況にある。しかしながら、従来の研究では堰高に比べて流量規模（限界水深）が小さいケースが専ら検討されてきた。洪水時に堰を越える流れの水面形計算では、堰公式を組み合わせることになるが、潜り堰の水理はなお不十分である。また、上記の水理条件を考慮すると、従来の公式をそのまま使うことには注意が必要である。本研究は、無次元パラメータに着目し、刃形堰の水理に2・3の検討を加える。

2. 運動量定理の適用

堰上・下流で河床が水平で河床高が同じ場合を検討する。堰高を h_d 、堰頂からとった上流水位を h_1 、下流水位を h_2 、単位幅流量を q 、堰の単位幅あたりの流水抵抗を F_D とし、堰上流と下流の水面高さ測定位置での圧力を静水圧と仮定する。運動量補正係数を1として2断面に運動量の定理を適用すると、

$$\rho q^2 \left(\frac{1}{h_d + h_2} - \frac{1}{h_d + h_1} \right) = \frac{1}{2} \rho g (h_d + h_1)^2 - \frac{1}{2} \rho g (h_d + h_2)^2 - F_D \quad (1)$$

係数 K_P を用いて F_D を次式： $F_D = K_P \cdot 1/2 \rho g h_d^2$ (2) でおくと、 K_P は次のように表現される。

$$K_P = \frac{h_1}{h_d} (1-x) \left[2 + \frac{h_1}{h_d} (1+x) - \frac{2 h_c^3}{h_d^3} \cdot \frac{1}{(1+x \cdot h_1/h_d)(1+h_1/h_d)} \right] \quad (3)$$

ここで、 $h_c = (q^2/g)^{1/3}$ は (h_c は限界水深)、 $x = h_2/h_1$ は潜り度である。式(3)は、 K_P を3つのパラメータ h_c/h_d 、 $x = h_2/h_1$ および h_1/h_d により表現している。

3. 無次元パラメータの検討

K_P の表現式に現れる3つのパラメータ相互の関係を、Glen Cox¹⁾ の実験データを用いて調べた。図-1はその結果を示したものである。図より、3つのパラメータのうち2つが独立に残る1つは従属量であることがわかる。また、図の関係は流量公式に相当する。実験は堰高0.348m、0.610m、0.991m、1,809mの4通りで行われているが、 h_1/h_d と h_2/h_1 の関係が堰高によらず h_c/h_d のみにより決定される。これはGlen Coxの2種類のogee堰の一連の実験でも認められた。

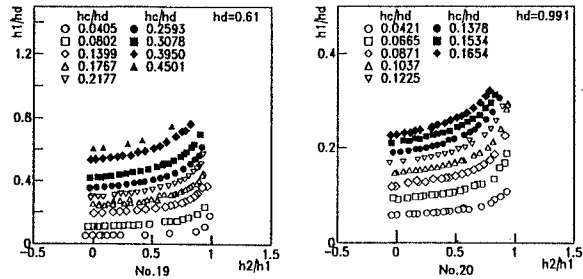


図-1 無次元パラメータ相互の関係

以下では図-1の関係の定式化を試みるが、まず完全越流の関係を調べる。

(1)完全越流

完全越流では、流量が h_2 に依存しないから3者の関係は h_1/h_d と h_c/h_d の関係となる。図-2は、Glen Coxのすべての刃形堰で得られた関係である。図中の実線は直線近似を試みた結果である。図より、範囲を限定すれば直線近似が可能で、 h_{10} を完全越流における h_1 として次式で表すことができる。

$$h_{10}/h_d = \alpha (h_c/h_d)^K \quad (4)$$

図-2のデータでは、 $h_c/h_d < 0.1$ では $\alpha = 1.429$ 、 $K = 1$ 、そして $h_c/h_d \geq 0.1$ では $\alpha = 1.367$ 、 $K =$

0.988であった。式(4)の変形として、堰高と越流水深から流量を算定するには式(4a)を、そして堰高と流量から越流水深を算定するには式(4b)を用いればよい。

$$q = gh_{10}^{3/2} (h_{10}/h_d)^3 (1/K-1)^{1/2} (1/\alpha)^{3/2K} \quad (4a)$$

$$h_{10} = h_c (h_c/h_d)^{K-1} \quad (4b)$$

従来の堰公式では流量係数の中に堰高や越流水深が生じる形で現れ、また堰高と流量から越流水深の算定には繰り返し計算が必要であるなど不合理あるいは不都合な点があった。Glen Coxのデータでは、従来の堰公式と式(4a)による流量計算値と実験値の誤差は同程度であったが、堰高が高い方の2つのケースでは式(4a)の方が良好であった。ただし、以下の計算で、 h_{10} は従来式から求めたものを用いる。

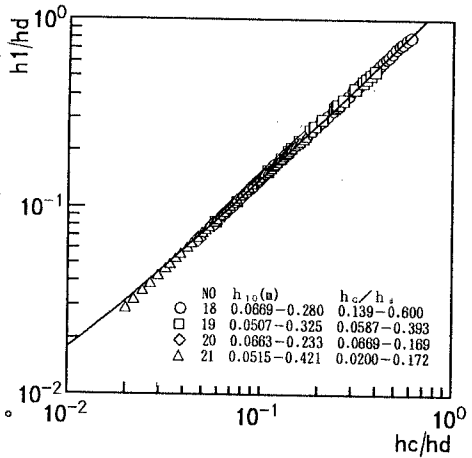


図-2 h_1/h_d と h_c/h_d の関係(完全越流)

(2) 潜り越流

潜り越流の流量公式は流量係数を C_s とにおいて式(5)で表され、 h_1 はその変形として式(5a)で表される。

$$q = C_s \sqrt{g} h_1^{3/2} (1 - h_2/h_1)^{1/2} \quad (5); \quad h_1 = h_c (C_s \sqrt{2})^{-2/3} (1 - h_2/h_1)^{-1/3} \quad (5a)$$

また、 h_c と h_{10} が式(4b)の関係をもつことに着目し、次のようにおく。

$$h_1/h_{10} = R (1 - h_2/h_1)^{-1/3} \quad (6)$$

図-3は式(6)の両辺の関係を図示したものの一例である。図中の実線は式(6)で $R=1$ とおいた関係である。横軸の値が1から離れる(潜り度が増す)ほど R が1より減少する。そして横軸の値が0.1以下の部分では、描点は実線とほぼ平行に分布するようである。この関係は次の式で表現される。

$$R = 1 - A |\log_{10}(1 - h_2/h_1)|^M \quad (0 < h_2/h_1 < 0.9); \quad R = 1 - A \quad (0.9 \leq h_2/h_1 < 1.0) \quad (7)$$

また、 $0.9 \leq h_2/h_1 < 1.0$ の範囲では、式(6)は、 $h_1/h_{10} = (1 - A)((1 - h_2/h_1)/0.1)^{-1/3}$ (6a)

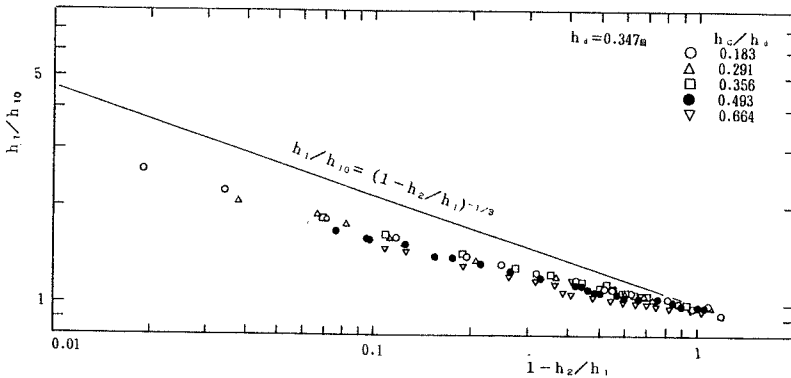


図-3 h_1/h_{10} と潜り度 h_2/h_1 の関係

式(7)の M は一部のデータを除き、0.55から0.70程度であったので、平均値0.633を用いて式中の A を調べた。その結果、 A は h_c/h_d により系統的に変化し、次式で近似されることがわかった。

$$A = 0.21 \quad (h_c/h_d \leq 0.3) \quad A = 0.229 \log_{10}(h_c/h_d) + 0.33 \quad (h_c/h_d > 0.3) \quad (8)$$

式(8)より、潜り堰の流量係数が潜り度だけでなく h_c/h_d も含むべきことが示唆される。

参考文献：1) Glen Nelson Cox(1928): Bulletin of the University of Wisconsin.